

Nichtlineare Regelstrukturen: Neue Anwendungsperspektiven in Drehstromantriebssystemen

Eine der wichtigen Forschungsrichtungen an der TU Hanoi (besonders im Schlüssellabor für Automatisierungstechnik): Einsatz neuer Entwurfsmethoden, die der nichtlinearen Natur der Antriebsmaschinen besser entsprechen

Inhaltsübersicht

- Einleitung
- Klassische Konzepte für ASMK und PMSM
- Idee der Exakten Linearisierung
- Exakte Linearisierung an den Beispielen ASMK und PMSM
- Idee des Backstepping-basierten Entwurfs
- Backstepping-basierter Entwurf am Beispiel ASMK
- Ausblick

Einleitung

- Relativ ausgereifter Entwicklungsstand bei Drehstromantriebssystemen
- Entwürfe meist mit Hilfe linearisierter Modelle: z.B. innerhalb einer Abtastperiode
- Qualitätsverlust, wenn sich Linearisierungsbedingung nicht mehr erfüllt (hohe Betriebsfrequenz, starke Parameterschwankungen)
- Bekanntwerden neuer, attraktiver Methoden zum Entwurf nicht linearer Regler

Klassische Konzepte: Modell der ASMK

$$\frac{di_{sd}}{dt} = -\left(\frac{1}{\sigma T_s} + \frac{1-\sigma}{\sigma T_r}\right) i_{sd} + \omega_s i_{sq} + \frac{1-\sigma}{\sigma T_r} \psi'_{rd} + \frac{1-\sigma}{\sigma} \omega \psi'_{rq} + \frac{1}{\sigma L_s} u_{sd}$$

$$\frac{di_{sq}}{dt} = -\omega_s i_{sd} - \left(\frac{1}{\sigma T_s} + \frac{1-\sigma}{\sigma T_r}\right) i_{sq} - \frac{1-\sigma}{\sigma} \omega \psi'_{rd} + \frac{1-\sigma}{\sigma T_r} \psi'_{rq} + \frac{1}{\sigma L_s} u_{sq}$$

$$\frac{d\psi'_{rd}}{dt} = \frac{1}{T_r} i_{sd} - \frac{1}{T_r} \psi'_{rd} + (\omega_s - \omega) \psi'_{rq}$$

$$\frac{d\psi'_{rq}}{dt} = \frac{1}{T_r} i_{sq} - (\omega_s - \omega) \psi'_{rd} - \frac{1}{T_r} \psi'_{rq}$$

$$\frac{d\mathbf{x}}{dt} = \mathbf{A}_{ASM} \mathbf{x} + \mathbf{B}_{ASM} \mathbf{u}_s + \mathbf{N} \mathbf{x} \omega_s$$

$$\frac{d\vartheta_s}{dt} = \omega_s$$

$$\frac{d\vartheta}{dt} = \omega$$

$$\frac{d\omega}{dt} = \frac{z_p}{J} (m_M - m_W)$$

Nichtlinearitäten:

- nichtlineare Struktur: $\mathbf{N} \mathbf{x} \omega_s$
- nichtlineare Parameter: $L_m(\psi_{rd})$

$$m_M = \frac{3}{2} z_p \frac{L_m^2}{L_r} \psi'_{rd} i_{sq} = \frac{3}{2} z_p (1-\sigma) L_s \psi'_{rd} i_{sq}$$

Klassische Konzepte: Modell der PMSM

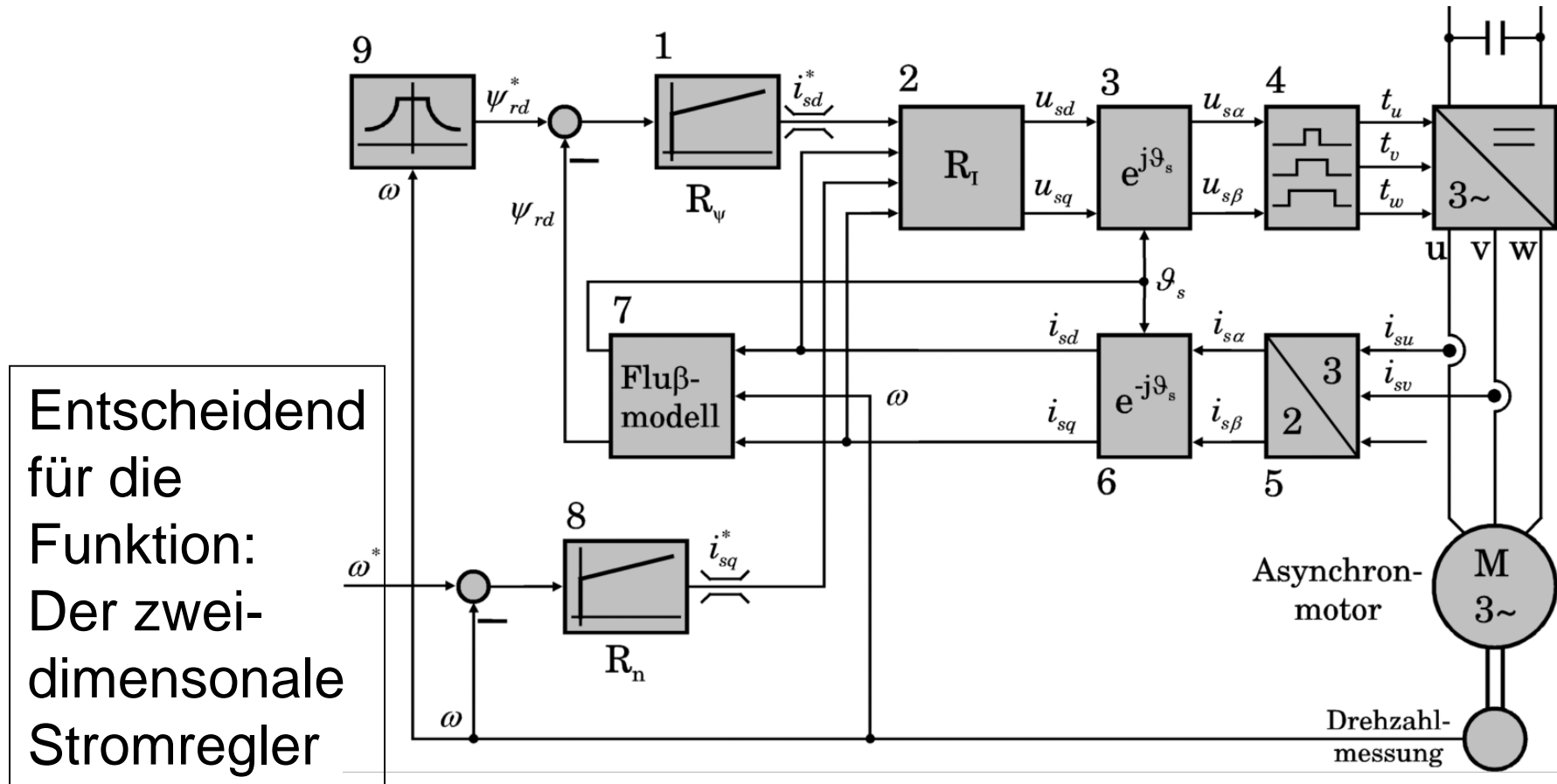
$$\left\{ \begin{array}{l} \frac{di_{sd}}{dt} = -\frac{1}{T_{sd}} i_{sd} + \omega_s \frac{L_{sq}}{L_{sd}} i_{sq} + \frac{1}{L_{sd}} u_{sd} \\ \frac{di_{sq}}{dt} = -\omega_s \frac{L_{sd}}{L_{sq}} i_{sd} - \frac{1}{T_{sq}} i_{sq} + \frac{1}{L_{sq}} u_{sq} - \omega_s \frac{\psi_p}{L_{sq}} \\ \frac{d\vartheta_s}{dt} = \omega_s \\ \frac{d\omega}{dt} = \frac{z_p}{J} (m_M - m_W) \end{array} \right.$$

$$\frac{d\mathbf{i}_s}{dt} = \mathbf{A}_{SM} \mathbf{i}_s + \mathbf{B}_{SM} \mathbf{u}_s + \mathbf{N}_{SM} \mathbf{i}_s \omega_s + \mathbf{S} \psi_p \omega_s$$

Nichtlineare Struktur: $\mathbf{N}_{SM} \mathbf{i}_s \omega_s$

$$m_M = \frac{3}{2} z_p \left[\psi_p i_{sq} + i_{sd} i_{sq} (L_{sd} - L_{sq}) \right]$$

Klassische Konzepte: Regelungsstruktur im Fall ASMK (für PMSM ähnlich)



Klassische Konzepte: Vor- und Nachteile als Motivation zu neuen Lösungen

- Sehr genaue, verzögerungsfreie Drehmomenteinprägung. Einfache Behandlung der Steuergrößenbeschränkung (Strom, Spannung)
- Nachteil 1: Probleme mit Störanfälligkeit bei Verletzung der Linearisierungsbedingung (z.B. Betrieb mit sehr hohen Drehzahlen)
- Nachteil 2: Stabilitätsprobleme bei gleichzeitiger Verletzung der Linearisierungsbedingung und fehlender Istwertmessung (z.B. sensorloser Betrieb mit Parameteradaption an der Aussteuerungsgrenze)

Idee der Exakten Linearisierung: Theoretische Grundzüge

- Für bestimmte Klassen der nichtlinearen Regelstrecken mit m Ein- und m Ausgängen:

$$\begin{cases} \frac{d\mathbf{x}}{dt} = \mathbf{f}(\mathbf{x}) + \mathbf{H}(\mathbf{x})\mathbf{u} \\ \mathbf{y} = \mathbf{g}(\mathbf{x}) \end{cases}$$

$$\mathbf{x} = \begin{pmatrix} x_1 \\ \vdots \\ x_n \end{pmatrix}; \mathbf{u} = \begin{pmatrix} u_1 \\ \vdots \\ u_m \end{pmatrix}; \mathbf{H}(\mathbf{x}) = (\mathbf{h}_1(\mathbf{x}), \mathbf{h}_2(\mathbf{x}), \dots, \mathbf{h}_m(\mathbf{x})); \mathbf{g}(\mathbf{x}) = \begin{pmatrix} g_1(\mathbf{x}) \\ \vdots \\ g_m(\mathbf{x}) \end{pmatrix}$$

- bei denen folgende Bedingungen erfüllt sind:

Summe aller Elemente des Vektors der relativen Differenzordnungen:

$$\mathbf{r} = \mathbf{r}_1 + \mathbf{r}_2 + \dots + \mathbf{r}_m = \mathbf{n}$$

n : Systemordnung

r_j : Relative Differenzordnung des j -ten Ausgangs

Invertierbarkeit der Matrix \mathbf{L} :

$$\mathbf{L}(\mathbf{x}) = \begin{pmatrix} L_{h_1} L_f^{r_1-1} g_1(\mathbf{x}) & \dots & L_{h_m} L_f^{r_1-1} g_1(\mathbf{x}) \\ \vdots & \ddots & \vdots \\ L_{h_1} L_f^{r_m-1} g_m(\mathbf{x}) & \dots & L_{h_m} L_f^{r_m-1} g_m(\mathbf{x}) \end{pmatrix}$$

Idee der Exakten Linearisierung: Theoretische Grundzüge

- kann das System mit Hilfe der Koordinatentransformation:

$$\mathbf{z} = \begin{pmatrix} z_1 \\ \vdots \\ z_n \end{pmatrix} = \mathbf{m}(\mathbf{x}) = \begin{pmatrix} g_1(\mathbf{x}) \\ \vdots \\ L_f^{r_1-1} g_1(\mathbf{x}) \\ \vdots \\ g_m(\mathbf{x}) \\ \vdots \\ L_f^{r_m-1} g_m(\mathbf{x}) \end{pmatrix}$$

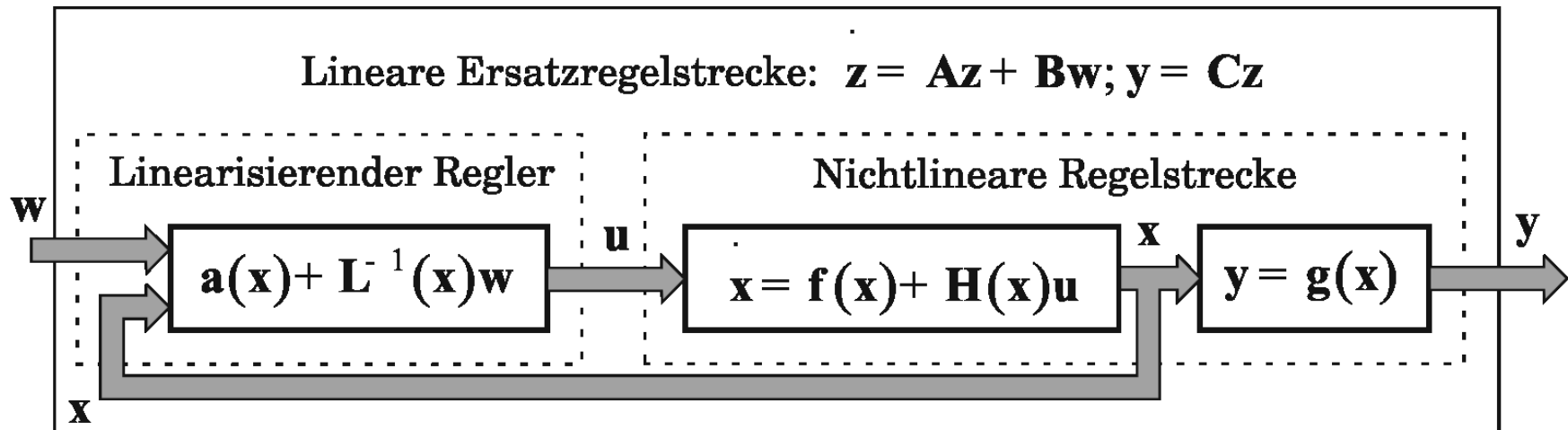
- in das folgende lineare MIMO-System überführt werden:

$$\begin{cases} \frac{d\mathbf{z}}{dt} = \mathbf{A}\mathbf{z} + \mathbf{B}\mathbf{w} \\ \mathbf{y} = \mathbf{C}\mathbf{z} \end{cases}$$

- Der Eingang \mathbf{u} wird von dem linearisierenden Regler gesteuert:

$$\mathbf{u} = \mathbf{a}(\mathbf{x}) + \mathbf{L}^{-1}(\mathbf{x})\mathbf{w}$$

Idee der Exakten Linearisierung: Theoretische Grundzüge



Drei Anmerkungen:

- Exakte Linearisierung ist im Prinzip nur eine Koordinatentransformation
- Exakte Linearisierung macht die Rückführung des kompletten Zustandsvektors x erforderlich, was nicht immer möglich ist
- Die gewonnene Linearität gilt im gesamten Zustandsraum

Exakte Linearisierung am Beispiel PMSM

$$\left\{ \begin{array}{l} \frac{d\mathbf{x}}{dt} = \mathbf{f}(\mathbf{x}) + \mathbf{H}(\mathbf{x}) \mathbf{u} \\ \mathbf{y} = \mathbf{g}(\mathbf{x}) \end{array} \right. \left\{ \begin{array}{l} \mathbf{x} = \begin{pmatrix} x_1 \\ x_2 \\ x_3 \end{pmatrix} = \begin{pmatrix} i_{sd} \\ i_{sq} \\ \vartheta_s \end{pmatrix}; \mathbf{u} = \begin{pmatrix} u_1 \\ u_2 \\ u_3 \end{pmatrix} = \begin{pmatrix} u_{sd} \\ u_{sq} \\ \omega_s \end{pmatrix}; \mathbf{y} = \begin{pmatrix} y_1 \\ y_2 \\ y_3 \end{pmatrix} = \begin{pmatrix} g_1(\mathbf{x}) \\ g_2(\mathbf{x}) \\ g_3(\mathbf{x}) \end{pmatrix} = \begin{pmatrix} x_1 \\ x_2 \\ x_3 \end{pmatrix} \end{array} \right.$$

Umformung des ursprünglichen Modells mit:

$$\mathbf{f}(\mathbf{x}) = \begin{bmatrix} -\frac{1}{T_{sd}} x_1 \\ -\frac{1}{T_{sq}} x_2 \\ 0 \end{bmatrix}; \mathbf{h}_1 = \begin{bmatrix} 1 \\ L_{sd} \\ 0 \end{bmatrix}; \mathbf{h}_2 = \begin{bmatrix} 0 \\ 1 \\ 0 \end{bmatrix}; \mathbf{h}_2(\mathbf{x}) = \begin{bmatrix} \frac{L_{sq}}{L_{sd}} x_2 \\ -\frac{L_{sd}}{L_{sq}} x_1 - \frac{\psi_p}{L_{sq}} \\ 1 \end{bmatrix}$$

Steuerfunktion u:

$$\underbrace{\begin{bmatrix} u_1 \\ u_2 \\ u_3 \end{bmatrix}}_{\mathbf{u}} = \underbrace{\begin{bmatrix} \frac{L_{sd}}{T_{sd}} x_1 \\ \frac{L_{sq}}{T_{sq}} x_2 \\ 0 \end{bmatrix}}_{\mathbf{a}(\mathbf{x})} + \underbrace{\begin{bmatrix} L_{sd} & 0 & -L_{sq} x_2 \\ 0 & L_{sq} & L_{sd} x_1 + \psi_p \\ 0 & 0 & 1 \end{bmatrix}}_{\mathbf{L}^{-1}(\mathbf{x})} \underbrace{\begin{bmatrix} w_1 \\ w_2 \\ w_3 \end{bmatrix}}_{\mathbf{w}}$$

Anmerkung:

Da die Zustandsvariablen die gemessenen Ströme sind, ist die Rückführung des kompletten Zustandsvektors immer möglich

Exakte Linearisierung am Beispiel PMSM

$$\begin{cases} \frac{dz}{dt} = \mathbf{Az} + \mathbf{Bw} \\ \mathbf{y} = \mathbf{Cz} \end{cases}$$

Das Ergebnis nach
der Linearisierung

$$\begin{cases} \frac{dz}{dt} = \underbrace{\begin{bmatrix} 0 & 0 & 0 \\ 0 & 0 & 0 \\ 0 & 0 & 0 \end{bmatrix}}_{\mathbf{A}} \mathbf{z} + \underbrace{\begin{bmatrix} 1 & 0 & 0 \\ 0 & 1 & 0 \\ 0 & 0 & 1 \end{bmatrix}}_{\mathbf{B}} \mathbf{w} \\ \mathbf{y} = \underbrace{\begin{bmatrix} 1 & 0 & 0 \\ 0 & 1 & 0 \\ 0 & 0 & 1 \end{bmatrix}}_{\mathbf{C}} \mathbf{z} = \begin{bmatrix} \int w_1 dt \\ \int w_2 dt \\ \int w_3 dt \end{bmatrix} \end{cases}$$

Anmerkung:

Der schöne Nebeneffekt nach der Koordinatentransformation ist die exakte dynamische Entkopplung, die im gesamten Zustandsraum wirksam ist.

Exakte Linearisierung am Beispiel ASMK

$$\mathbf{x} = \begin{pmatrix} x_1 \\ x_2 \\ x_3 \end{pmatrix} = \begin{pmatrix} i_{sd} \\ i_{sq} \\ \vartheta_s \end{pmatrix}; \mathbf{u} = \begin{pmatrix} u_1 \\ u_2 \\ u_3 \end{pmatrix} = \begin{pmatrix} u_{sd} \\ u_{sq} \\ \omega_s \end{pmatrix}; \mathbf{y} = \begin{pmatrix} y_1 \\ y_2 \\ y_3 \end{pmatrix} = \begin{pmatrix} g_1(\mathbf{x}) \\ g_2(\mathbf{x}) \\ g_3(\mathbf{x}) \end{pmatrix} = \begin{pmatrix} x_1 \\ x_2 \\ x_3 \end{pmatrix}$$

$$\mathbf{f}(\mathbf{x}) = \begin{pmatrix} -\left(\frac{1}{\sigma T_s} + \frac{1-\sigma}{\sigma T_r}\right)x_1 + \frac{1-\sigma}{\sigma T_r}\psi'_{rd} \\ -\left(\frac{1}{\sigma T_s} + \frac{1-\sigma}{\sigma T_r}\right)x_2 - \frac{1-\sigma}{\sigma}\omega\psi'_{rd} \\ 0 \end{pmatrix}$$

$$\mathbf{h}_1 = \begin{pmatrix} 1 \\ \sigma L_s \\ 0 \\ 0 \end{pmatrix}; \mathbf{h}_2 = \begin{pmatrix} 0 \\ 1 \\ \sigma L_s \\ 0 \end{pmatrix}; \mathbf{h}_3(\mathbf{x}) = \begin{pmatrix} x_2 \\ -x_1 \\ 1 \end{pmatrix}$$

Umformung des ursprünglichen Modells

Steuerfunktion u:

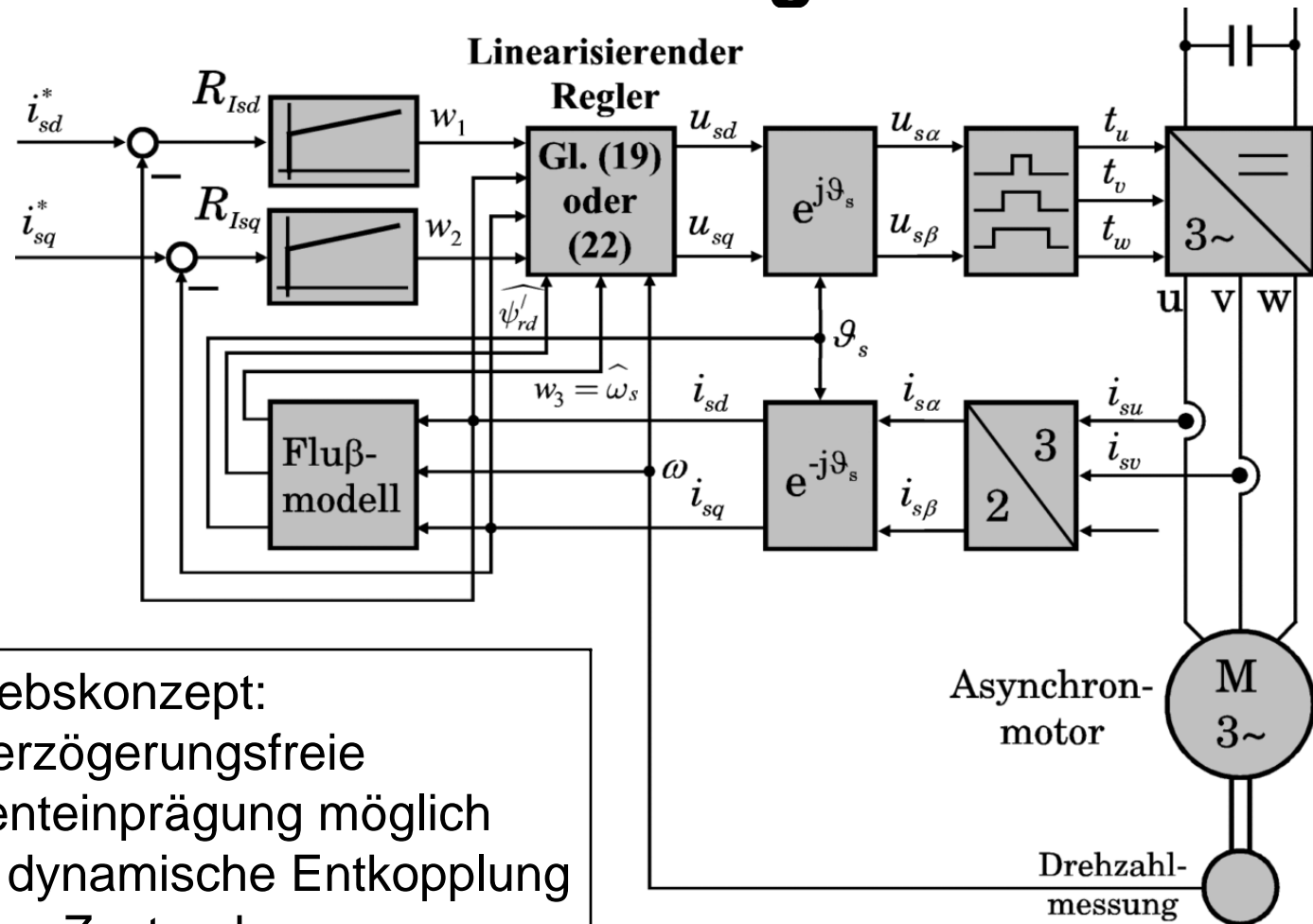
$$\underbrace{\begin{pmatrix} u_1 \\ u_2 \\ u_3 \end{pmatrix}}_{\mathbf{u}} = \underbrace{\begin{pmatrix} \left(\frac{1}{T_s} + \frac{1-\sigma}{T_r}\right)L_s x_1 - \frac{1-\sigma}{T_r}L_s\psi'_{rd} \\ \left(\frac{1}{T_s} + \frac{1-\sigma}{T_r}\right)L_s x_2 + (1-\sigma)\omega L_s\psi'_{rd} \\ 0 \end{pmatrix}}_{\mathbf{a}(\mathbf{x})}$$

$$+ \underbrace{\begin{pmatrix} \sigma L_s & 0 & -\sigma L_s x_2 \\ 0 & \sigma L_s & \sigma L_s x_1 \\ 0 & 0 & 1 \end{pmatrix}}_{\mathbf{L}^{-1}(\mathbf{x})} \underbrace{\begin{pmatrix} w_1 \\ w_2 \\ w_3 \end{pmatrix}}_{\mathbf{w}}$$

Anmerkung:

- Die Linearisierung wird nur auf das (Strom-) Teilmodell angewandt
- Exakte dynamische Entkopplung wie beim PMSM ebenfalls erreicht

Neue Regelstruktur mit exakter Linearisierung



Neues Antriebskonzept:

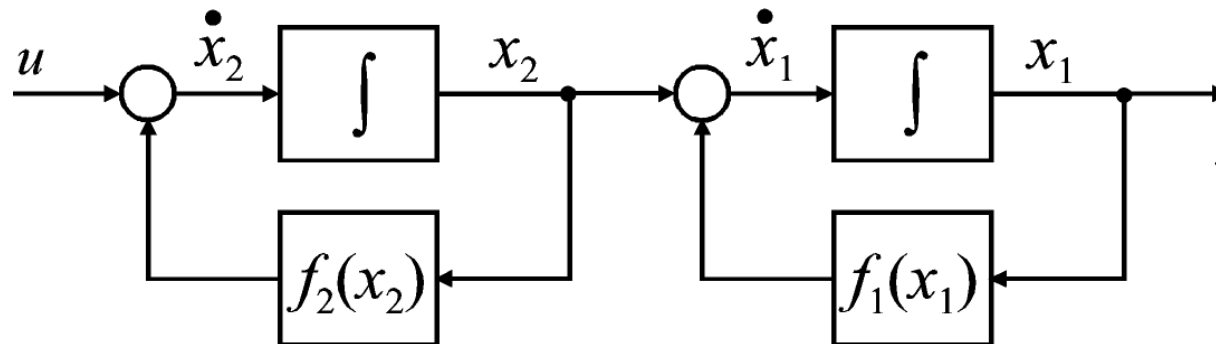
- Genaue verzögerungsfreie Drehmomenteinprägung möglich
- Wirksame dynamische Entkopplung im gesamten Zustandsraum

Idee des backstepping-basierten Entwurfs: Theoretische Grundzüge

Motivation und Anwendungsgegenstand:

- Betriebsfälle, wo die Systemstabilität beim Entwurf von Anfang an die höchste Priorität erhält (z.B. Betrieb mit unsicheren bzw. veränderlichen Parametern, drehsensorloser Betrieb)
- Findung einer die globale Stabilität gewährleistenden Ljapunow-Steuerfunktion mittels Backstepping (rekursive Art und Weise der Herleitung)
- Anwendbar auf die Klasse der kaskadenförmigen nichtlinearen Systeme

Das Beispiel über ein kaskadenförmiges System



$$\dot{x}_1 = f_1(x_1) + x_2$$

$$\dot{x}_2 = f_2(x_2) + u$$

x_2 ist eine Zustandsvariable und stellt für das hintere Teilsystem eine virtuelle Steuergröße dar.

Backstepping-basierter Entwurf am Beispiel ASMK: Entwurfsziele

Beide Größen:

- die Amplitude des Rotorflusses ψ'_{rd} , entscheidend für die Betriebszustände des Motors, und
- das Drehmoment m_M

sollen den Sollwerten folgend ψ'^*_{rd} , m_M^* , die von den überlagerten Reglern vorgegeben sind, genau und sicher nachgeführt werden.

Backstepping-basierter Entwurf am Beispiel ASMK, 1. Schritt: Rotorfluß ψ'_{rd}

1. Die Abweichung zwischen $\psi'_{rd,ref}$ und $\hat{\psi}'_{rd}$ wird definiert mit z_1 :

$$z_1 = \hat{\psi}'_{rd} - \psi'_{rd,ref} \Rightarrow \dot{z}_1 = \frac{1}{T_r} i_{sd} - \frac{1}{T_r} \hat{\psi}'_{rd} - \frac{d\psi'_{rd,ref}}{dt}$$

2. Der Strom i_{sd} ist die virtuelle Steuervariable und die Ljapunow-Funktion wird wie folgt gewählt:

$$V(z_1) = \frac{1}{2} z_1^2$$

3. Die virtuelle Steuerfunktion sieht wie folgt aus:

$$i_{sd} = -c_1 T_r z_1 + \hat{\psi}'_{rd} + T_r \frac{d\psi'_{rd,ref}}{dt}, \quad c_1 > 0$$

Backstepping-basierter Entwurf am Beispiel ASMK, 2. Schritt: Rotorfluß ψ'_{rd}

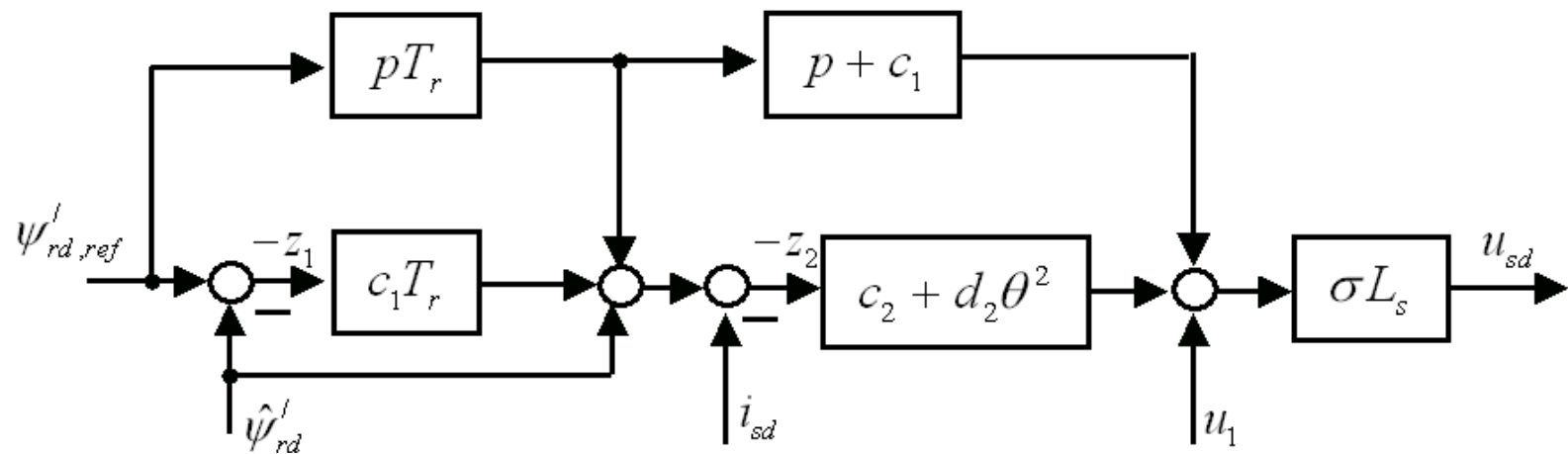
Allerdings stellt der Strom i_{sd} nur eine virtuelle Steuergröße dar. Tatsächlich ist er eine Regelgröße mit z_2 als Regelabweichung. Unter Nutzung der 1. Gleichung aus dem elektrischen Modell ergibt sich:

$$\begin{aligned}
 z_2 &= i_{sd} - i_{sd,ref} \quad \Rightarrow \\
 \dot{z}_2 &= -\frac{1}{T_\sigma} i_{sd} + \omega_s i_{sq} + \frac{1-\sigma}{\sigma T_r} \hat{\psi}'_{rd} + \frac{1}{\sigma L_s} u_{sd} \\
 &\quad + \left(c_1 - \frac{1}{T_r} \right) (i_{sd} - \hat{\psi}'_{rd}) - c_1 T_r \frac{d\psi'_{rd,ref}}{dt} - T_r \frac{d^2 \psi'_{rd,ref}}{dt^2} \\
 &\quad + \frac{1-\sigma}{\sigma T_r} \tilde{\psi}'_{rd} + \frac{1-\sigma}{\sigma} \omega \tilde{\psi}'_{rq}
 \end{aligned}$$

Backstepping-basierter Entwurf am Beispiel ASMK, 2. Schritt: Rotorfluß ψ'_{rd}

Die Ljapunow-Funktion wird erweitert: $V_2(z_1, z_2) = \frac{1}{2}z_1^2 + \frac{1}{2}z_2^2$

Dann ergibt sich die Steuerspannung u_{sd} für die d -Achse:

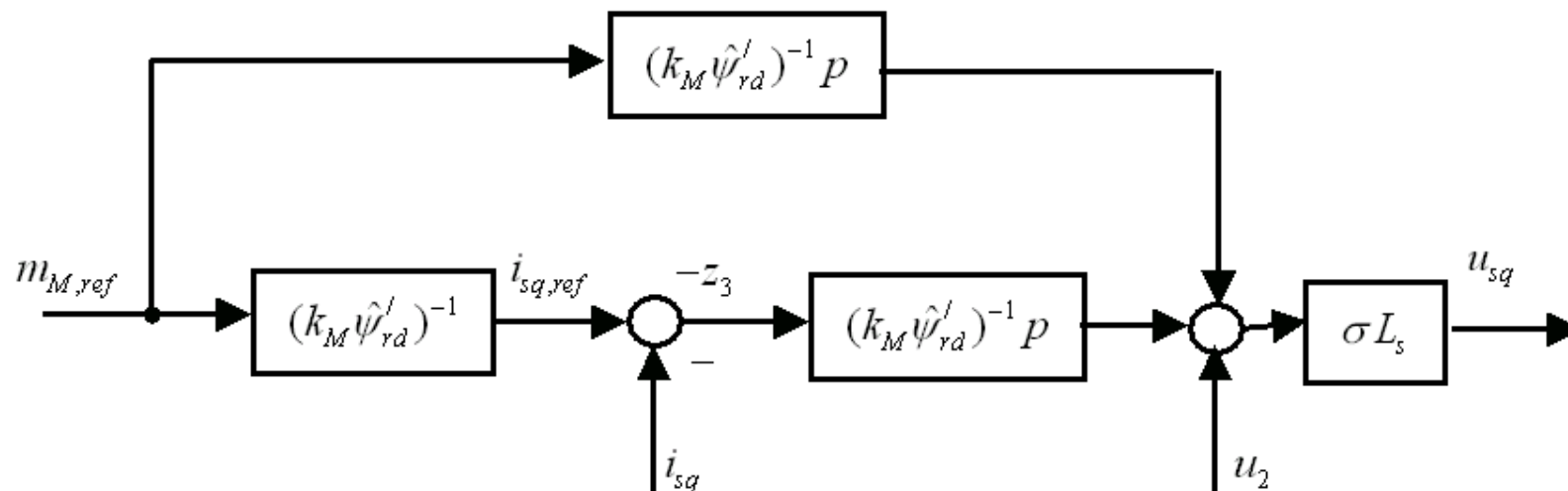


mit:
$$u_1 = \frac{1}{T_\sigma} i_{sd} - \omega_s i_{sq} - \frac{1-\sigma}{\sigma T_r} \hat{\psi}'_{rd} + \left(\frac{1}{T_r} - c_1 \right) (i_{sd} - \hat{\psi}'_{rd})$$

$$\theta^2 = \left(\frac{1-\sigma}{\sigma T_r} \right)^2 + \left(\frac{1-\sigma}{\sigma} \omega \right)^2$$

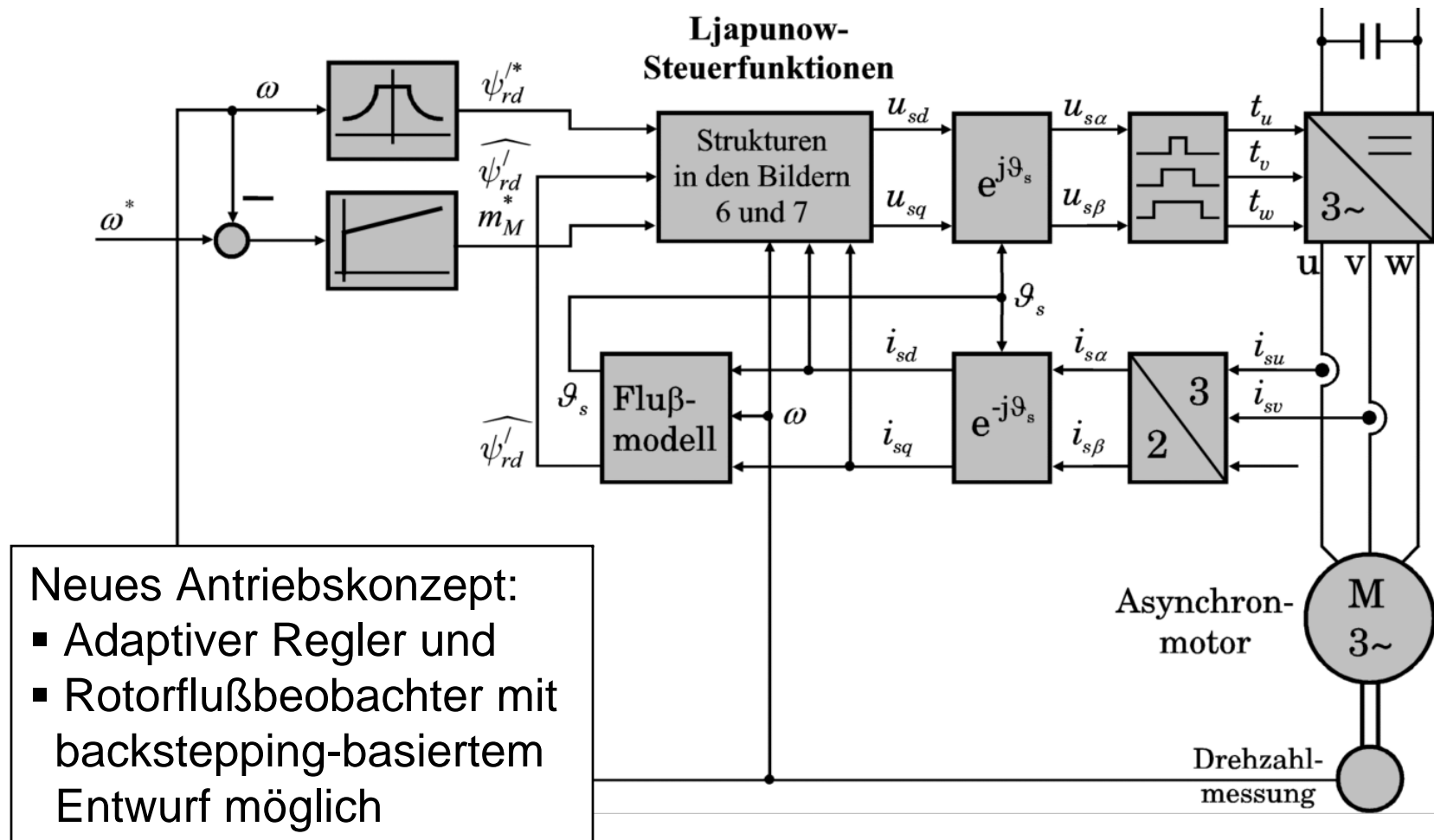
Backstepping-basierter Entwurf am Beispiel ASMK: Drehmoment m_M

Wie beim Rotorfluß wird hier - von der Momentgleichung ausgehend - i_{sq} als virtuelle Steuergröße gewählt. z_3 wird als Regelabweichung $i_{sq} - i_{sq,ref}$ definiert. Es ergibt sich dann die Steuerspannung u_{sq} für die q -Achse:



Mit:
$$u_2 = \omega_s i_{sd} + \frac{1}{T\sigma} i_{sq} + \frac{1-\sigma}{\sigma} \omega \hat{\psi}'_{rd} - \frac{m_{M,ref}}{k_M (\hat{\psi}'_{rd})^2} \frac{1}{T_r} (i_{sd} - \hat{\psi}'_{rd})$$

Neue Regelstruktur mit backstepping-basiertem Entwurf



Ausblick

Bis zur Reife bleiben noch Fragen zu klären:

- Behandlung der Steuergrößenbeschränkung
- Praktische Umsetzung mit diskreten Reglern
- Problem der Entkopplung bei Backstepping
- Verbindung der optimalen Ansätze (in Bezug auf Dynamik, Genauigkeit) mit dem die globale Stabilität gewährleistenden Ansatz
- Adaptiver Regler und Rotorflußbeobachter mit backstepping-basierter Entwurf
- Backstepping beim PMSM ?

**Vielen Dank für Ihre
Aufmerksamkeit**